

# بررسی مشخصه‌های عملکرد یاتاقان ژورنال دو لب

## با استفاده از روان کار میکروپلار

اصغر دشتی رحمت آبادی<sup>۱</sup>، محسن نکوئی مهر<sup>۲</sup> و محمد سفید<sup>۳</sup>

دانشکده مهندسی مکانیک

دانشگاه یزد

(تاریخ دریافت: ۸۷/۰۶/۱۰؛ تاریخ پذیرش: ۸۹/۰۶/۰۷)

### چکیده

در این مقاله، مؤلفه‌های عملکرد استاتیکی یاتاقان‌های ژورنال غیرمدور که از سیال میکروپلار به عنوان روان کار استفاده می‌کنند، مورد مطالعه قرار گرفته است. معادله اصلاح شده رینولدز براساس تئوری سیال میکروپلار، با استفاده از روش عددی اجزاء محدود تحلیل و میدان فشار در یاتاقان بدست آورده می‌شود. پس از آن به کمک میدان فشار در ناحیه سیال روان کار، مشخصه‌های عملکرد استاتیکی، نظیر ظرفیت حمل بار، زاویه مشخصه، ضریب اصطکاک و نشتی انتهایی، برای یاتاقان بیضوی (دو لب) با روان کارهای نیوتونی و میکروپلار مورد بررسی قرار گرفته و تأثیر پارامترهای میکروپلار سیال، نظیر عدد کوپلینگ و طول مشخصه بی‌بعد، روی این مشخصه‌های عملکرد ارائه شده است. نتایج حاکی از آن است که استفاده از سیال میکروپلار به عنوان روان کار در سیستم یاتاقان‌های دو لب باعث افزایش ظرفیت حمل بار، افزایش زاویه مشخصه سیستم و همچنین افزایش ضریب اصطکاک ولی باعث کاهش جریان نشتی یاتاقان دو لب، در بار معین می‌شود.

**واژه‌های کلیدی:** سیال میکروپلار، یاتاقان ژورنال دو لب، مشخصه‌های عملکرد استاتیکی

## Analysis of Performance Characteristics of Two-lobe Journal Bearing with Micropolar Lubricant

A.D. Rahmatabadi, M. Nekoei Mehr, and M. Sefid

Dep't. of Mech. Eng., Yazd Univ.

(Received: 31 August, 2008; Accepted: 29 August, 2010 )

### ABSTRACT

In this paper, static performance characteristics for a finite length two-lobe journal bearing lubricated with micropolar fluid is studied. Using finite element method, steady-state film pressure is obtained by solving modified Reynolds equation, based on micropolar lubrication theory. With the help of film pressure in bearing, the static performance characteristics in terms of load carrying capacity, attitude angle, friction coefficient, and rate of flow leakage of a two-lobe journal bearing are obtained for both Newtonian and micropolar lubricant. Finally, the effect of micropolar fluid characteristics parameters such as coupling number and non-dimensional characteristic length on the bearing static performance are presented. The computed results show that, compared with Newtonian fluids, the micropolar fluids exhibit an increase in load carrying capacity, also increase in attitude angle as well as increase in friction coefficient, while there will be decrease in side leakage flow for a specified external load.

**Keywords:** Micropolar Fluid, Two-lobe Bearing, Static Performance Characteristics

۱- دانشیار (نویسنده پاسخگو) : dashti@yazd.ac.ir

۲- کارشناس ارشد: mnekoeimehr@yahoo.com

۳- استادیار

فهرست علائم	
پارامترهای بی بعد مسئله با علامت بار می باشند.	
لقی شعاعی (m)	C
کمترین میزان لقی، زمانی که محور و یاتاقان هم مرکز باشند (m)	$C_m$
ضرایب ویسکوزیته زاویه‌ای (N.s)	$c_o, c_a, c_d$
نیروی اصطکاک (N)	$F_f$
نیروی اصطکاک بی بعد	$\bar{F}_f$
ضریب اصطکاک	f
ضخامت فیلم سیال (m)	h
طول مشخصه بی بعد سیال میکروپلاز	$l_m$
طول یاتاقان (m)	L
عدد کوپلینگ سیال میکروپلاز؛	$\bar{N}$
$N = \left( \frac{\mu_r}{\mu + \mu_r} \right)^{1/2}$	
مرکز هندسی یاتاقان	O
مرکز هندسی ژورنال	$O_j$
فشار هیدرودینامیکی ( $N / m^2$ )	p
فشار هیدرودینامیکی بی بعد	$\bar{p}$
نرخ جریان نشتی انتهای ( $m^3 / s$ )	$Q_l$
جریان نشتی بی بعد	$\bar{Q}_l$
شعاع ژورنال (m)	R
سرعت خطی ژورنال ( $m / s$ )	U
مؤلفه‌های سرعت سیال روان کار ( $m / s$ )	$v_x, v_y, v_z$
محورهای مشخصات با مبدأ عبوری از مرکز هندسی یاتاقان	X, Y, Z
مشخصات مرکز ژورنال	$X_j, Y_j$
محورهای مشخصات مطابق شکل ۱	x, y, z
منتجه بار روی یاتاقان (N)	W
منتجه بار بی بعد	$\bar{W}$
مؤلفه‌های بار بی بعد در جهت‌های x و y	$\bar{W}_x, \bar{W}_y$

**۱- مقدمه**  
امروزه یاتاقان‌های ژورنال، به دلیل اصطکاک کم و مشخصه‌های ضربه‌گیری مناسب، به طور گسترده در ماشین‌های دور مورد استفاده قرار می‌گیرند. در این یاتاقان‌ها در صورت وجود روان‌کار کافی در حین بارگذاری، یک فیلم هیدرودینامیکی سیال جداکننده سطوح لغزشی یاتاقان می‌باشد. از آنجا که فشارهای توسعه یافته در یاتاقان‌های هیدرودینامیکی لغزشی پایین است، از این‌رو معمولاً بارگذاری‌های سنگین، سرعت‌های پایین و همچنین استفاده از روان‌کارهای با لزجت کم برای این یاتاقان‌ها مناسب نیست. ضمناً تقاضا برای به کارگیری یاتاقان‌های ژورنال در سرعت‌های بالاتر، مسائل ارتعاشی به خاطر سرعت‌های بحرانی، نامتعادل بودن و ناپایداری، احتیاج برای اشکال هندسی

بارگذاری دائم، روان کاری شده با سیال میکروپلار پرداختند. در سال ۲۰۰۵، داس و گوها<sup>۷</sup>، مطالعاتی بر روی مشخصه‌های دینامیکی و پایداری یاتاقان ژورنال صلب مدور تحت روان کار میکروپلار با روش پرتوبریشن<sup>۸</sup> حول نقطه تعادل پایدار، انجام دادند. نتایج آنها بیانگر آستانه پایداری بالاتر یاتاقان با سیال میکروپلار در مقایسه با سیال نیوتونی است.

در تحلیل عملکرد یاتاقان‌های ژورنال، استفاده از فشار صفر در ناحیه فیلم واگرا معمول است. از آنجا که در این ناحیه فشار به زیر فشار اشباع کاشهش می‌یابد، پدیده کاویتاسیون رخ می‌دهد. وانگ و ژو<sup>۹</sup> [۱۱]، در تحقیقاتشان مشخصه‌های عملکرد یاتاقان‌های ژورنال با روان کار میکروپلار را با درنظر گرفتن تاثیرات کاویتاسیون ارائه کردند.

اخیراً نایر<sup>۱۰</sup> و همکارانش [۱۲-۱۳]، مطالعاتی بر روی عملکرد یاتاقان‌های ژورنال مدور و بیضوی استوهویدرودینامیکی تحت روان کار میکروپلار انجام دادند. اگرچه آنها در مطالعاتشان پارامترهای حجم مرکز افروندنی‌های به سیال و نرخ انتقال جرم ذرات را به عنوان ویژگی‌های مشخصه سیال میکروپلار در نظر گرفتند، ولی درنهایت نتایج این مقالات نیز حاکی از ارتقاء مشخصه‌های عملکرد یاتاقان روان کار میکروپلار در مقایسه با روان کارهای نیوتونی است.

از آنجا که در این تحقیقات کمتر به بررسی مشخصه‌های عملکرد سیستم یاتاقان غیرمدور دولب، تحت روان کار میکروپلار و بررسی پارامترهای میکروپلار ارینگن بر این عملکرد پرداخته شده است، در مقاله حاضر مشخصه‌های عملکرد یاتاقان دولب که با سیال نیوتونی و میکروپلار روان کاری شده مورد مطالعه قرار می‌گیرد.

## ۲- تحلیل

معادله رینولدز در حالت کلی از ترکیب معادلات بقاء مومنتوم خطی و زاویه‌ای و معادله پیوستگی سیال روان کار به دست می‌آید.

دیگری غیر از یاتاقان‌های ژورنال ساده مدور را به وجود آورده است. این هندسه‌ها، الگوهای متفاوتی از متغیر لقی دارند تا ضخامت‌های فیلم سیال که ناحیه‌های واگرا و همگرای قوی‌تری دارند را ایجاد کنند. یاتاقان‌های دو لب (بیضوی) از معمول ترین یاتاقان‌های غیرمدور است.

تحقیقات بسیاری بر روی مشخصه‌های عملکرد یاتاقان‌های بیضوی با روان کار نیوتونی انجام شده است [۱-۳]. این در حالی است که به واسطه گسترش ماشین‌آلات مدرن، موج روزافزون استفاده از سیالات غیرنیوتونی به عنوان روان کار را شاهد هستیم. سیالات میکروپلار از جمله سیالات غیرنیوتونی هستند که در روان کاری مورد استفاده قرار می‌گیرند و باعث بهبود عملکرد یاتاقان می‌شوند.

تئوری سیال میکروپلار که سیالاتی شامل ذرات ریز جهت‌دار و یا کروی صلب معلق در محیط ویسکوز، با صرف نظر از تغییر شکل این ذرات را پوشش می‌دهد، اولین بار توسط ارینگن<sup>۱۱</sup> ارائه شد [۴]. سیالاتی نظیر کریستال‌های مایع، خون جانوران، سیالات پلیمری حقيقی و روغن‌های حاوی کثیفی‌ها و ذرات فلزی ریز معلق، در زمرة این سیالات تقسیم‌بندی می‌شوند.

کار بر روی یاتاقان با روان کار میکروپلار با مطالعات آلن و کلاین<sup>۱۲</sup> [۵] آغاز شد. آنها مسئله یاتاقان کشویی یک بعدی تحت روان کار نیوتونی با ذرات فلزی معلق در آن را مورد بررسی قرار دادند. نتایج آنها حاکی از بهبود در روان کاری یاتاقان با به کار گیری سیال میکروپلار بود.

زهیرالدین و ایسا<sup>۱۳</sup> [۶]، همچنین پر اکاش و سینهنا<sup>۱۴</sup> [۷]، مشخصه‌های عملکرد یاتاقان ژورنال مدور یک بعدی طویل و کوتاه را با روان کار میکروپلار در حالت پایدار ارائه کردند. در این مقالات به افزایش ویسکوزیته مؤثر سیال میکروپلار در مقایسه با سیال نیوتونی پایه آن اشاره شده بود که با مشاهدات تجربی منتشر شده توسط نیدز<sup>۱۵</sup> [۸]، همخوانی داشت.

پس از آن خونساری و بريوو<sup>۱۶</sup> [۹]، به بررسی دو بعدی مشخصه‌های عملکرد یاتاقان ژورنال مدور صلب در حالت

1- Eringen

2- Allen and Kline

3- Zaheeruddin and Isa

4- Prakash and Sinha

5- Needs

6- Khonsari and Brewe

7- Das and Guha

8- Perturbation

9- Wang and Zhu

10- Nair

بسیار کوچک است، نیز در صفحه  $xz$  وجود خواهد داشت. با توجه به فرض ذکر شده، بردارهای سرعت و سرعت میکرووتیشن به صورت زیر در می‌آیند:

$$\vec{v} = (v_x, 0, v_z), \quad (4)$$

$$\vec{w} = (w_x, 0, w_z).$$

به این ترتیب، معادلات بقاء مومنتوم خطی و زاویه‌ای (معادلات (۱) و (۲)) در جهات  $x$  و  $z$  با توجه به دائم بودن جریان، به ترتیب به صورت زیر ساده می‌شود [۱۵]:

$$(\mu + \mu_r) \frac{\partial^2 v_x}{\partial y^2} + 2\mu_r \frac{\partial w_z}{\partial y} - \frac{\partial p}{\partial x} = 0, \quad (\text{الف})$$

$$(\mu + \mu_r) \frac{\partial^2 v_z}{\partial y^2} - 2\mu_r \frac{\partial w_x}{\partial y} - \frac{\partial p}{\partial z} = 0, \quad (\text{ب})$$

$$(c_a + c_d) \frac{\partial^2 w_x}{\partial y^2} + 2\mu_r \frac{\partial v_z}{\partial y} - 4\mu_r w_x = 0, \quad (\text{الف})$$

$$(c_a + c_d) \frac{\partial^2 w_z}{\partial y^2} - 2\mu_r \frac{\partial v_x}{\partial y} - 4\mu_r w_z = 0. \quad (\text{ب})$$

شرایط مرزی سرعت، بر روی سطح در حال چرخش ژورنال ( $y=0$ ) و پوسته ثابت یا تاقان ( $y=h$ ) مطابق شکل ۱

به صورت زیر می‌باشد [۱۵]:

$$v_x|_{y=0} = U, v_z|_{y=0} = w_x|_{y=0} = w_z|_{y=0} = 0, \quad (\text{الف})$$

$$v_x|_{y=h} = v_z|_{y=h} = w_x|_{y=h} = w_z|_{y=h} = 0. \quad (\text{ب})$$

با انتگرال‌گیری از معادلات ساده شده مومنتوم خطی و زاویه‌ای با لحاظ کردن شرایط مرزی فوق، مؤلفه‌های سرعت خطی و میکرووتیشنال به دست می‌آیند.

با جایگذاری این مؤلفه‌های سرعت در معادله پیوستگی و انتگرال‌گیری از معادله حاصله در عرض فیلم روان کار، معادله رینولوز اصلاح شده برای سیال میکروپلار با فرض دمای متوسط، به فرم زیر به دست خواهد آمد [۷]:

$$\begin{aligned} & \frac{\partial}{\partial x} \left[ \frac{\psi(N, \Lambda, h)}{\mu} \frac{\partial p}{\partial x} \right] + \frac{\partial}{\partial z} \left[ \frac{\psi(N, \Lambda, h)}{\mu} \frac{\partial p}{\partial z} \right] \\ & = 6U \frac{\partial h}{\partial x}, \end{aligned} \quad (8)$$

$$\psi(N, \Lambda, h) = h^3 + 12\Lambda^2 h - 6N \Lambda h^2 \coth \left( \frac{Nh}{2\Lambda} \right),$$

که در آن،  $N$ ،  $\Lambda$  به صورت زیر تعریف می‌شوند:

$$\Lambda = \left( \frac{c_a + c_d}{4\mu} \right)^{1/2}, \quad N = \left( \frac{\mu_r}{\mu + \mu_r} \right)^{1/2}. \quad (9)$$

همان‌طور که ملاحظه می‌شود، ضرایب لزجت و ماده این سیالات در قالب دو پارامتر  $N$ ،  $\Lambda$  قرار می‌گیرند. این دو

در اینجا با توجه به تئوری سیال میکروپلار و با صرف نظر کردن از نیرو و ممان‌های حجمی، معادلات بقاء مومنتوم خطی و زاویه‌ای به ترتیب به فرم‌های زیر نوشته می‌شود:

$$\rho \frac{d\vec{v}}{dt} = -\nabla p + (\lambda + \mu + \mu_r) \nabla (\nabla \cdot \vec{v}) + (\mu + \mu_r) \Delta \vec{v} + 2\mu_r (\nabla \times \vec{w}), \quad (1)$$

$$\rho j \frac{d\vec{w}}{dt} = (c_o + c_d - c_a) \nabla (\nabla \cdot \vec{w}) + (c_d + c_a) \Delta \vec{w} + 2\mu_r (\nabla \times \vec{v} - 2\vec{w}), \quad (2)$$

که در آن،  $v$  بردار سرعت،  $w$  بردار سرعت چرخش جزئی (سرعت میکرووتیشن<sup>۱</sup>) که به سرعت زاویه‌ای چرخش ذرات معلق در سیال اشاره می‌کند،  $\rho$  چگالی،  $\mu$  لزجت دینامیکی،  $\lambda$  ضریب دوم لزجت دینامیکی و  $\mu_r$  لزجت دینامیکی چرخشی ذرات معلق در سیال (lezjet d'yeux) میکرووتیشن (می‌باشدند. همچنین  $j$  ثابت اینرسی و  $c_o, c_a, c_d$  ضرایب ویسکوزیته زاویه‌ای هستند.

معادله بقاء مومنتوم خطی در صورتی که سیال نیوتینی درنظر گرفته شود، همان معادله حرکت ناویر استوکس<sup>۲</sup> است. است. برای سیال میکروپلار معادله فوق با معادله بقاء مومنتوم زاویه‌ای که حرکت ذرات معلق درون حجم معیار میکرو را تشریح می‌کند، برای حصول معادله رینولوز ترکیب می‌شود. در یاتاقان ژورنال با توجه به نازک بودن ضخامت فیلم سیال نسبت به شعاع ژورنال می‌توان از انحنای فیلم سیال صرف نظر کرده و جریان را بر روی سطح تخت درنظر گرفت. با فرض نازک بودن ضخامت فیلم روان کار، از تغییرات فشار در امتداد فیلم روان کار صرف نظر می‌شود و در نتیجه خواهیم داشت [۱۴ - ۱۵]:

$$\begin{cases} \frac{\partial \bar{P}}{\partial y} = 0, \\ P = P(x, y), \\ v_y = 0, \\ w_y = 0. \end{cases} \quad (3)$$

بنابراین، با توجه به شکل ۱، مؤلفه سرعت خطی المان حجمی سیال، در جهات  $x$  و  $z$  درنظر گرفته می‌شوند. بردار سرعت میکرووتیشن هم که در تحلیل سیال میکروپلار مبین حرکت چرخشی مستقل ذرات ریز ناهمگن معلق در سیال در ابعاد

1- Microrotation

2- Navier-Stokes Equation

$$\bar{P}(\theta_1^i, \bar{z}) = 0, \quad (12\text{-الف})$$

$$\bar{p}(\theta, \pm \lambda) = 0, \quad (12\text{-ب})$$

$$\bar{p}(\theta_2^i, \bar{z}) = \frac{d\bar{p}}{d\theta}(\theta_2^i, \bar{z}) = 0, \quad (12\text{-ج})$$

که در آن،  $\lambda$  نسبت طول به قطر یاتاقان،  $\theta_1^i$ ، زاویه شروع هر لب و  $\theta_2^i$  زاویه انتهایی ناحیه فشار مثبت در هر لب است.

در تحلیل واقعی میدان فشار یاتاقان‌های ژورنال عمدتاً فشار اشباع مشابه فشار محیط اطراف یاتاقان است و فشار پایین‌تر از فشار محیط (فشار منفی) نداریم، بنابراین باسیستی فشار در قسمت واگرashونده فیلم روان کار، صفر درنظر گرفته شود. این رهیافت که تحلیل را محدود به فیلم همگرا می‌کند (حل نیمه سامرفلد<sup>۱</sup>، منتهی به عدم رعایت پیوستگی جریان در انتهای خروجی منحنی فشار می‌شود، که با به کارگیری شرط مرزی رینولدز می‌توان این مشکل را برطرف کرد (معادله ۱۲-ج)). شرط مرزی رینولدز براساس پیوستگی جریان روان کار در  $\theta_2^i = \theta$  استوار می‌باشد که هم فشار در فیلم روان کار و هم گرادیان آن در  $\theta_2^i = \theta$  صفر منظور می‌شوند. مقدار زاویه  $\theta_2^i$  در هر لب در یک روند تکرار محاسبه می‌شود [۱۶]. بدین ترتیب بدون درنظر گرفتن فشارهای منفی می‌توان مقادیر فشار در فیلم سیال را به دست آورد.

در حالت دائم، محور دارای سرعت یکنواخت بوده و بار وارد بر سیستم نیز ثابت است، از این‌رو مرکز محور در یک موقعیت ثابت قرار می‌گیرد، و هندسه فضای لقی بین محور و یاتاقان همواره شکل ثابتی خواهد داشت. ضخامت بی‌بعد فیلم سیال در حالت دائم در فضای لقی بین محور و هریک از لبهای یاتاقان به صورت زیر بیان می‌شود [۲]:

$$\bar{h} = \frac{1}{\delta} - X_j \cos \theta - Y_j \sin \theta + \left( \frac{1}{\delta} - 1 \right) \cos(\theta - \theta_0^i). \quad (13)$$

$(X_j, Y_j)$  مختصات مرکز محور،  $\delta$  پریلود<sup>۲</sup> سیستم و  $\theta_0^i$  زاویه‌ای است که خط المركzin محور و لب آم، با جهت مثبت محور x می‌سازد.

در حالت دائم

$$\begin{cases} X_j = \varepsilon \sin \varphi, \\ Y_j = -\varepsilon \cos \varphi. \end{cases} \quad (14)$$

1- Half-Sommerfeld  
2- Preload

پارامتر که بیانگر ویژگی‌های سیال میکروپلار و متمایزکننده آن از سیال نیوتونی هستند، به ترتیب عدد کوپلینگ و طول مشخصه نامیده می‌شوند.

عدد کوپلینگ (N) پارامتر بی‌بعدی است که همبستگی معادلات بقاء مومنتوم خطی و زاویه‌ای را نشان می‌دهد و می‌تواند به صورت نسبت نیروهای لزجت چرخشی به نیروهای لزجت نیوتونی سیال درنظر گرفته شود. در صورتی که لزجت میکروروتیشن ( $\mu_r$ ) صفر شود، عدد کوپلینگ سیال میکروپلار صفر می‌شود و معادلات مومنتوم خطی و زاویه‌ای مجزا از هم خواهند شد، به ترتیبی که معادله مومنتوم خطی به معادله ناویراستوکس کاهش می‌یابد (رفتار سیال نیوتونی خواهد بود). با توجه به ملاحظات ترمودینامیکی، مقدار پارامتر

$N$  به صفر و یک محدود می‌شود [۴].

طول مشخصه ( $\Lambda$ )، پارامتر دیگری است که بیانگر ویژگی‌های سیال میکروپلار می‌باشد. طول مشخصه نشان دهنده کنش بین سیال میکروپلار و ضخامت فیلم روان کار است. این پارامتر با بعد طول، تابعی از اندازه مولکول‌ها و یا زیرساخت‌های سیال است. در این مورد نیز در صورتی که مقدار  $\Lambda$  به سمت صفر برود، سیال رفتار نیوتونی خواهد داشت و معادله رینولدز به دست آمده به معادله رینولدز کلاسیک تبدیل می‌شود. معمولاً پارامتر طول مشخصه را با لقی شعاعی ( $\bar{C}$ ، بی‌بعد نموده و از پارامتر بی‌بعد طول مشخصه ( $\bar{l}_m$ ) در مبحث روان‌کارهای میکروپلار استفاده می‌شود.

با بی‌بعد کردن، کمیت‌ها به صورت زیر است:

$$\bar{l}_m = \frac{C}{\Lambda}, \quad \theta = \frac{x}{R}, \quad \bar{h} = \frac{h}{C_m},$$

$$\bar{z} = \frac{z}{L}, \quad \bar{p} = \frac{p C^2 m}{\mu d U R}. \quad (10)$$

معادله رینولدز بی‌بعد اصلاح شده برای سیال میکروپلار در حالت کلی به صورت زیر به دست می‌آید:

$$\begin{aligned} & \frac{\partial}{\partial \theta} \left[ \frac{\bar{p}(N, \Lambda, h)}{\mu} \frac{\partial \bar{p}}{\partial \theta} \right] \\ & + \left( \frac{R}{L} \right)^2 \cdot \frac{\partial}{\partial \bar{z}} \left[ \frac{\bar{p}(N, \Lambda, h)}{\mu} \frac{\partial \bar{p}}{\partial \bar{z}} \right] = 6U \frac{\partial \bar{h}}{\partial \theta}, \\ & \bar{p}(N, \Lambda, h) = \bar{h}^3 + \frac{12\bar{h}}{l_m^2} - \frac{6Nh^2}{l_m} \coth \left( \frac{Nh l_m}{2} \right). \end{aligned} \quad (11)$$

به منظور حل معادله (11) شرایط مرزی زیر برای یاتاقان دولب درنظر گرفته می‌شود:

سطح و مرز هر المان دارند.  $N_k^e$ ، تابع درون یابی است که متغیر میدان (فشار) را در هر المان محاسبه می‌کند.

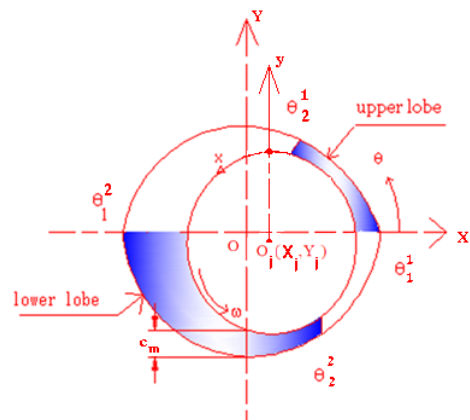
$$\bar{P}^e = \sum_{k=1}^{n_e} N_k^e \bar{P}_k. \quad (19)$$

$\bar{P}_k$  مقدار فشار در هر گره المان است. با به کار گیری رابطه (۱۵) برای هر المان در میدان جریان و تشکیل ماتریس کلی، شکل ماتریسی زیر به دست خواهد آمد:

$$[F]_{n \times n} \{\bar{P}\}_{n \times 1} + \{\bar{Q}\}_{n \times 1} = \{\bar{H}\}_{n \times 1}, \quad (20)$$

که در آن،  $n$  تعداد کل گره های میدان است. این معادلات اشاره به مجموعه روابط خطی، جهت به دست آوردن متغیرهای فشار و دبی جریان در گره ها با اعمال شرایط مرزی دارد. با در نظر گرفتن اینکه در هر گره یکی از این دو کمیت معلوم است، بنابراین با به کار گیری شرایط گره های تمام آرایه های ستونی از ماتریس  $[F]$  به جز آرایه قطری مطابق با گره مرزی برابر صفر است. معادله ماتریسی (۲۰)، برای محاسبه فشار در گره های داخلی و محاسبه دبی جریان در گره های مرزی تحلیل می شود.

مختصات مرکز محور می باشد.



شکل(۱): شکل شماتیک یاتاقان ژورنال دو لب.

به منظور دستیابی به میدان فشار در حالت دائم، معادله (۱۱) با به کار گیری تکنیک اجزاء محدود، تحلیل می شود [۱۷]. معادلات با روش گالرکین به شکل روابط در اجزاء محدود در می آیند.

معادلات اجزاء محدود برای هر المان به شکل ماتریسی زیر نوشته می شود.

$$[F^e]_{n_e \times n_e} \{\bar{P}^e\}_{n_e \times 1} + \{\bar{Q}^e\}_{n_e \times 1} = \{\bar{H}^e\}_{n_e \times 1}, \quad (15)$$

که در آن،  $n_e$  تعداد گره های هر المان است.

ناحیه جریان در سیستم یاتاقان های ژورنال به شکل مستطیلی برای هر یک از لبه های یاتاقان غیر مدور است. بنابراین المان های به کار گرفته شده از نوع المان های چهار گره ای ایزوپارامتریک<sup>۱</sup> می باشند.

مؤلفه های هر ماتریس به صورت زیر بیان می شوند:

$$F_{km}^e = \iint_{A^e} \psi(N, \Lambda, h) \left[ \frac{\partial N_k^e}{\partial \theta} \frac{\partial N_m^e}{\partial \theta} + \left( \frac{R}{L} \right)^2 \frac{\partial N_k^e}{\partial z^-} \frac{\partial N_m^e}{\partial z^-} \right] d\theta dz^-, \quad (16)$$

$$\bar{Q}_k^e = \int_{S^e} \Psi(N, \Lambda, h) N_k^e \frac{\partial \bar{P}^e}{\partial \theta} dz^-, \quad (17)$$

$$-\int_{S^e} \Psi(N, \Lambda, h) \left( \frac{R}{L} \right)^2 N_k^e \frac{\partial \bar{P}^e}{\partial \theta} d\theta, \quad (18)$$

$$\bar{H}_k^e = \iint_{A^e} 6h \frac{\partial N_k^e}{\partial \theta} d\theta dz^-. \quad (18)$$

که در آن،  $S^e, A^e$  و  $k, m = 1, 2, \dots, n_e$  به ترتیب اشاره به

### ۳- مشخصه های استاتیکی

با حل معادله (۱۱)، میدان فشار در حالت دائم به دست می آید و از این طریق می توان مشخصه های استاتیکی سیستم یاتاقان دو لب با روان کار میکروپلار را محاسبه کرد. مهم ترین مشخصه های استاتیکی یاتاقان ها عبارت است از: ظرفیت تحمل بار یاتاقان ( $W$ )، زاویه مشخصه ( $\phi$ )، نیروی اصطکاک ( $F$ ) و نرخ نشتی انتهایی ( $Q_l$ ).

مؤلفه های نیروی سیال روی محور را می توان به صورت زیر بیان کرد:

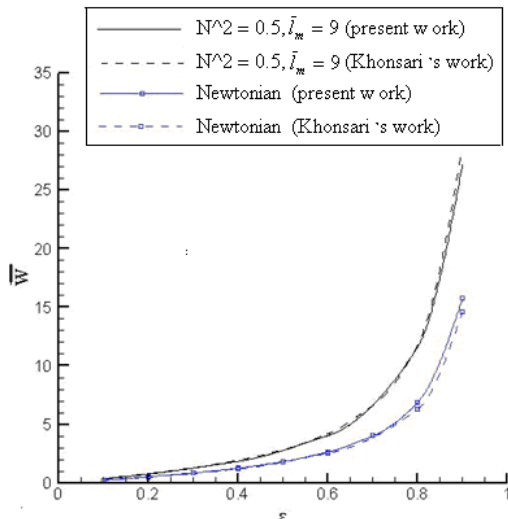
$$\begin{bmatrix} \bar{W}_x \\ \bar{W}_y \end{bmatrix} = \sum_{i=1}^L \begin{bmatrix} \bar{W}_x^i \\ \bar{W}_y^i \end{bmatrix} = - \sum_{i=1}^L \int_{-\lambda}^{\lambda} \int_{\theta_i^1}^{\theta_i^2} \bar{P}_i \begin{bmatrix} \cos \theta \\ \sin \theta \end{bmatrix} d\theta d\bar{z}. \quad (21)$$

بنابراین، ظرفیت تحمل بار و زاویه مشخصه کلی یاتاقان به صورت زیر تعریف می شود:

$$\bar{W} = (\bar{W}_x^2 + \bar{W}_y^2)^{\frac{1}{2}}, \quad (22)$$

$$\varphi = \arctan\left(\frac{X_j}{Y_j}\right) = \arctan\left(\frac{\bar{W}_x}{\bar{W}_y}\right). \quad (23)$$

نسبتاً مناسب نتایج به دست آمده با تحقیقات معتبر پیشین است.



شکل(۲): تغییرات ظرفیت حمل بار یاتاقان دور، با نسبت خارج از مرکزی.

شکل ۳، پروفیل سه بعدی میدان فشار بی بعد برای یاتاقان‌های ژورنال دو لب، در حالت دائم، در نسبت خارج از مرکزی معین ( $l_m = 5/4$ )، برای مقادیر مختلف پارامترهای میکروپلار سیال را نشان می‌دهد. نمودارها نشان می‌دهند با وجودی که روند پروفیل توزیع فشار تقریباً بدون تغییر باقی می‌ماند، به این معنی که نحوه افزایش و کاهش فشار در زوایای مختلف، در نمودارهای مختلف یکسان است و بیشینه فشار نسبی در زوایای یکسان ایجاد می‌شود و گستره فشار صفر در شکل‌های مختلف مشابه است، ولی مقدار (بزرگی) فشار تحت تأثیر پارامتر  $N^2$ ، قرار می‌گیرد. با افزایش عدد کوپلینگ، سیال خواص میکروپلار چشمگیرتری از خود بروز می‌دهد و لزجت سیال بیشتر می‌شود، که نتیجتاً افزایش مقدار فشار روان کار را به دنبال دارد. علاوه بر این تأثیر پارامتر بی بعد طول مشخصه ( $\bar{l}_m$ ) بر روی توزیع فشار نیز در این شکل نشان داده می‌شود. همان‌طور که قبل اشاره شد، برای  $\bar{l}_m$  های کوچک، تأثیر زیرساخت‌های سیال بسیار بارز است. از این‌رو لزجت و پیرو آن فشار سیال روان کار بالاتر می‌باشد.

به منظور محاسبه نیروی اصطکاک در یاتاقان، رابطه تنش برشی در امتداد سطح ژورنال به صورت زیر به کار گرفته می‌شود:

$$\tau = (\mu + \mu_r) \frac{\partial v_x}{\partial y} + 2\mu_r w_z. \quad (24)$$

با جایگذاری مؤلفه‌های سرعت خطی و میکرووتیشنال در رابطه (۲۴)، تنش برشی روی سطح ژورنال به صورت زیر نوشته می‌شود:

$$\tau|_{y=h} = \frac{h}{2} \frac{\partial p}{\partial x} + \frac{\mu U}{h \left[ 1 - \frac{2N\Lambda}{h} \tanh\left(\frac{Nh}{2\Lambda}\right) \right]}. \quad (25)$$

با انتگرال‌گیری از این معادله روی سطح ژورنال، نیروی اصطکاک برای هر لب، حاصل می‌شود [۷].

$$\begin{aligned} \bar{F} &= \sum_{i=1}^l \int_{-\lambda}^{\lambda} \int_{\theta_i^0}^{\theta_i^1} A d\theta d\bar{z} + \int_{-\lambda}^{\lambda} \int_{\theta_2^0}^{\theta_2^1} A \frac{h(\theta_2^0)}{h} d\theta d\bar{z}, \\ A &= \frac{\bar{h}}{2} \cdot \frac{d\bar{p}}{d\theta} + \frac{1}{\bar{h} - \frac{2N}{l_m} \tanh\left(\frac{Nl_m \bar{h}}{2}\right)}. \end{aligned} \quad (26)$$

ضریب اصطکاک، از تقسیم نیروی اصطکاک بر روی ظرفیت حمل بار یاتاقان به دست می‌آید.

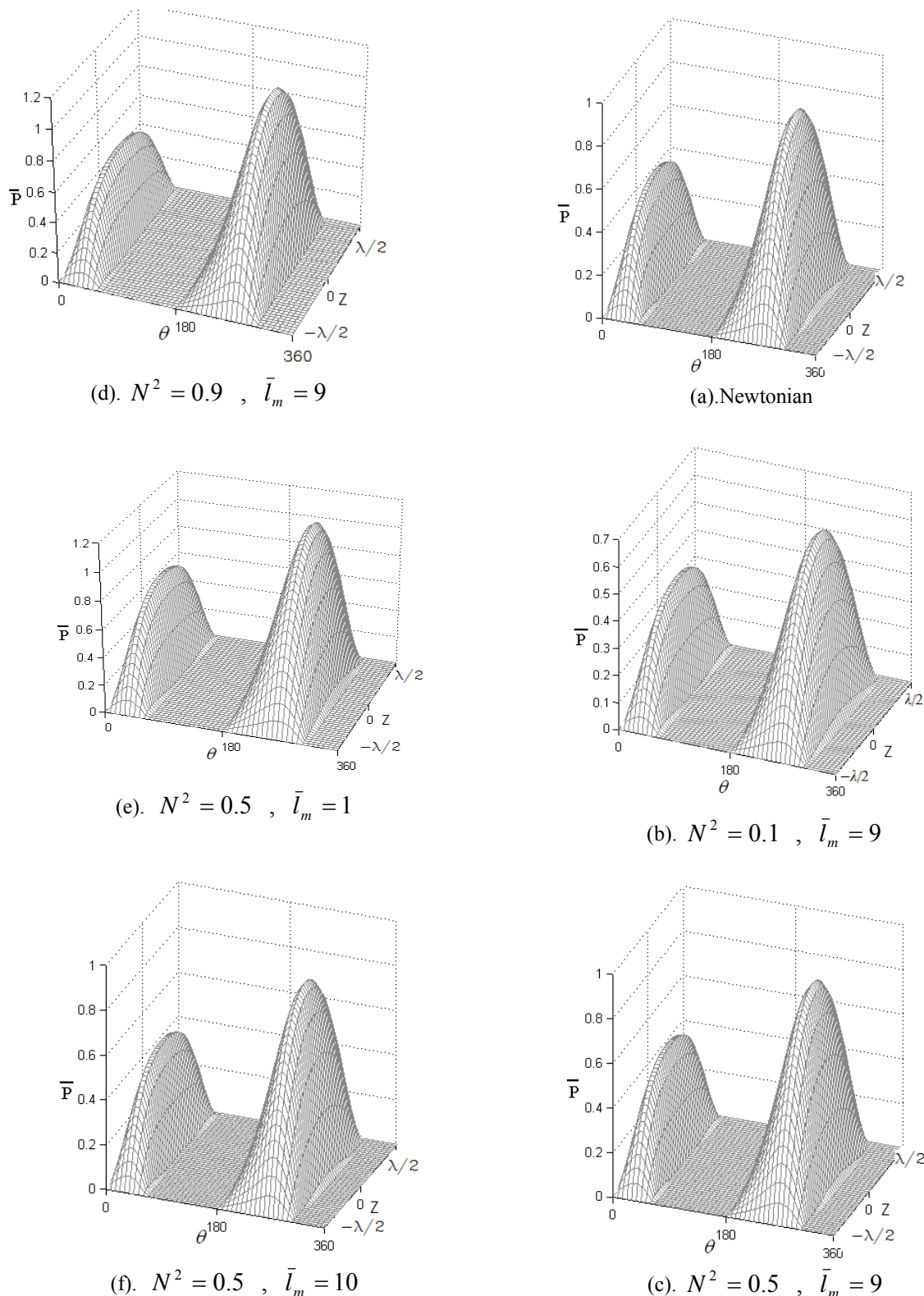
$$f(R/C) = \frac{\bar{F}}{\bar{W}}. \quad (27)$$

نهایتاً، نشتی انتهایی یاتاقان‌های ژورنال دو لب از رابطه زیر محاسبه می‌شود [۷]:

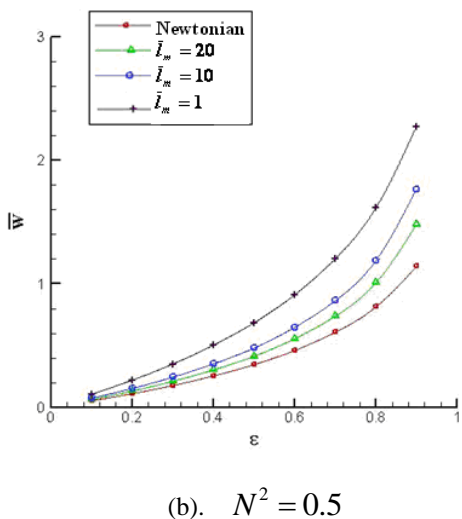
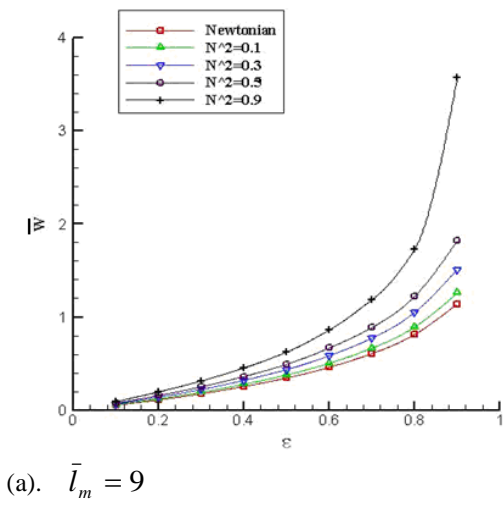
$$\bar{Q}_l = \sum_{i=1}^l \int_{\theta_i^0}^{\theta_i^1} \psi(N, \Lambda, h) \left. \frac{\partial \bar{p}}{\partial \bar{z}} \right|_{\bar{z}=\pm\lambda} d\theta. \quad (28)$$

#### ۴- بررسی نتایج

در این مقاله، مشخصه‌های عملکرد استاتیکی سیستم یاتاقان‌های دو لب با روان کار میکروپلار مورد بررسی قرار می‌گیرد. در این حالت نسبت طول به قطر یاتاقان برابر یک و میزان پریلود برابر نیم درنظر گرفته می‌شود. در ابتدا به منظور تأیید نتایج حاصل از برنامه کامپیوتری تهیه شده، در شکل ۲، چگونگی تغییر ظرفیت حمل بار یاتاقان دور با نسبت خارج از مرکزی، برای روان کارهای نیوتونی و میکروپلار با نتایج مرجع [۹] مقایسه شده است. نمودارها نشان‌دهنده تطابق

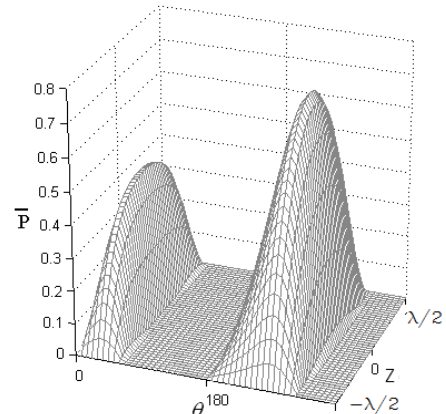


شکل(۳): توزیع فشاردر یاتاقان دو لب برای روان کار نیوتونی و میکروپلار، ( $L/D = 1$  ،  $\varepsilon = 0.5$  ،  $\delta = 0.5$ )



شکل(۶): تغییرات ظرفیت حمل بار با نسبت خارج از مرکزی، (a) برای مقادیر مختلف  $N^2$  ، (b) برای مقادیر مختلف  $\bar{l}_m$ .

همان طور که از شکل ۶ برمی‌آید، با افزایش خواص میکروپلار سیال روان کار، نیروی اصطکاک و به تبع آن ضریب اصطکاک یاتاقان افزایش نسبی می‌یابد. به دلیل اینکه با افزایش پارامترهای عدد کوپلینگ و طول مشخصه، ویسکوزیته روان کار بیشتر می‌شود، می‌توان اندک افزایشی در نیروی اصطکاک یاتاقان را توجیه کرد و از آنجا که ضریب اصطکاک به صورت حاصل تقسیم نیروی اصطکاک بر روی ظرفیت حمل بار یاتاقان تعریف شده است، با کاهش خواص میکروپلار و میل سیال به سمت سیال نیوتونی، ضریب



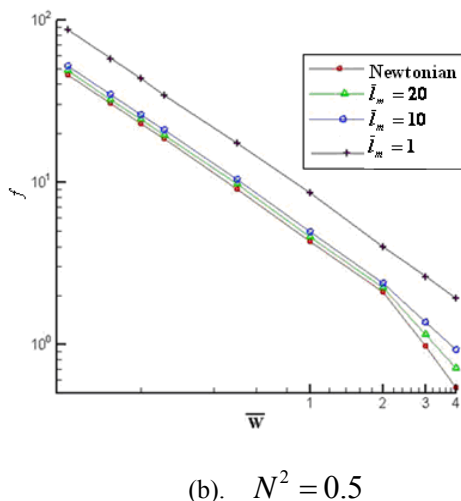
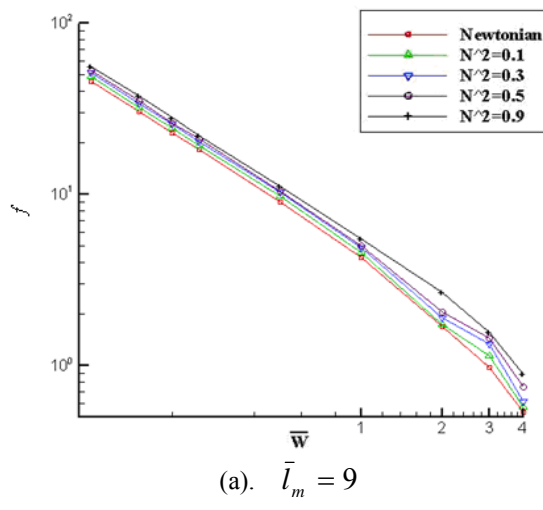
شکل(۳): ادامه

در حالی که با افزایش مقدار  $\bar{l}_m$  ، فشار کاهش می‌یابد. در حالت حدی در صورتی که  $\bar{l}_m$  به سمت بین نهایت میل کند، تأثیرات میکروپلار سیال از بین رفتہ و توزیع فشار به سمت توزیع فشار سیال نیوتونی می‌رود.

شکل ۴، تغییرات ظرفیت حمل بار با نسبت خارج از مرکزی برای مقادیر مختلف پارامترهای میکروپلار سیال روان کار را نشان می‌دهد. همان‌طور که مشاهده می‌شود، با افزایش خواص میکروپلار سیال ( $N^2 \rightarrow 1, \bar{l}_m \rightarrow 0$ ) ، ظرفیت حمل بار یاتاقان بیشتر می‌شود. نمودارها نزدیک شدن ظرفیت حمل بار به مقدار آن برای سیال نیوتونی در حالت حدی ( $N^2 \rightarrow 0, \bar{l}_m \rightarrow \infty$ ) را نشان می‌دهد. از آنجا که دستیابی به مشخصه‌های عملکرد یاتاقان در حالتی که مقدار بار عمودی روی آن معین است، بیشتر مورد توجه طراحان قرار دارد، بررسی مشخصه‌های عملکرد (زاویه مشخصه، نیروی اصطکاک و جریان نشتی انتهایی)، نسبت به بار اعمالی روی یاتاقان در ادامه آورده می‌شود.

شکل ۵ نشان می‌دهد، به جز در بارهای بسیار سبک، با زیاد شدن خواص میکروپلار سیال زاویه مشخصه سیستم افزایش می‌یابد. در حالت کلی، افزایش زاویه مشخصه بیانگر افزایش پایداری دینامیکی سیستم یاتاقان است [۲]. به این ترتیب می‌توان بهبود پایداری یاتاقان تحت روان کار میکروپلار در مقایسه با روان کار نیوتونی را نتیجه گرفت.

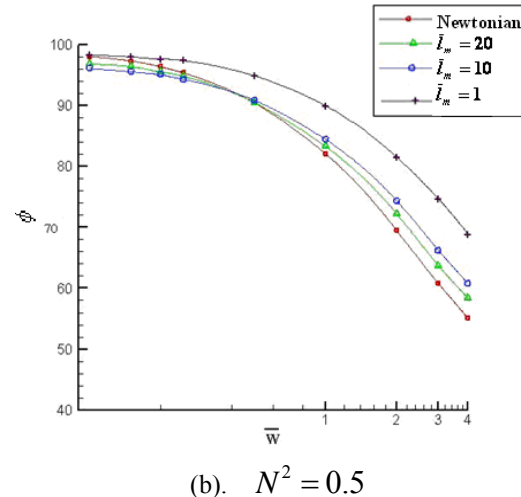
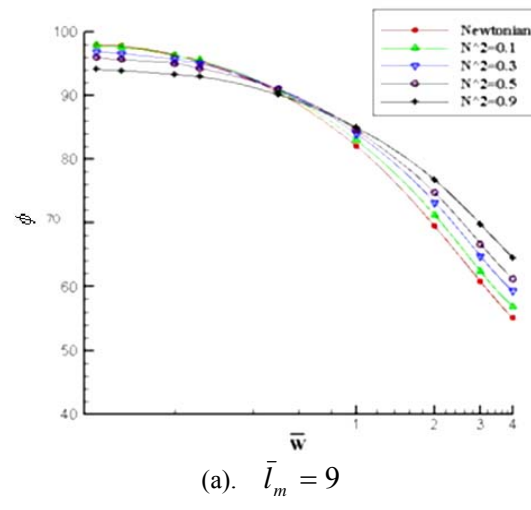
خارجی عمودی اعمال شده بر یاتاقان، در شکل ۷ نشان داده شده است. ملاحظه می شود که با افزایش پارامتر عدد کوپلینگ و نیز با کاهش پارامتر طول مشخصه روان کار میکروپلار، جریان نشتی از یاتاقان کاهش می یابد. افزایش لزجت سیال به واسطه افزایش خواص میکروپلار آن، می تواند موجب کاهش جریان نشتی انتهایی روان کار باشد.



شکل(۶): تغییرات ضریب اصطکاک بر حسب بار برای یاتاقان دو لب، (a) برای مقادیر مختلف  $N^2$  ، (b) برای مقادیر مختلف  $\bar{l}_m$

اصطکاک متناسب با نیروی اصطکاک کاهش می یابد. از سوی دیگر با میل پارامتر طول مشخصه به سمت صفر ( $\bar{l}_m = 1$ )، افزایش نسبتاً بزرگ تری در ضریب اصطکاک مشاهده می شود. (شکل ۶-ب) بیانگر نیروی اصطکاک بیشتر در مقادیر پایین طول مشخصه است.

نمودار تغییرات جریان نشتی انتهایی روان کار بر حسب بار

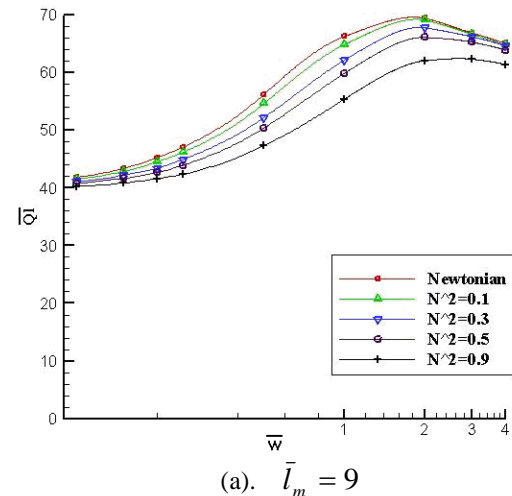
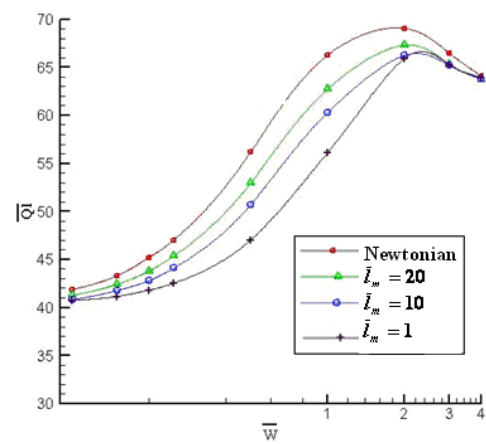


شکل(۵): تغییرات زاویه مشخصه بر حسب بار برای یاتاقان دو لب، (a) برای مقادیر مختلف  $N^2$ ، (b) برای مقادیر مختلف  $\bar{l}_m$

شدن رفتار آن از سیال نیوتونی است، موجب افزایش مناسب ظرفیت حمل بار یاتاقان و عمدتاً افزایش زاویه مشخصه و نیز افزایش نه چندان محسوس در ضریب اصطکاک یاتاقان تحت بار عمودی معین و نهایتاً کاهش نشتی سیال روان کار از یاتاقان می‌شود.

### مراجع

1. Singh, D.V., Sinhasan, R., and Kumar, A. "A Variation Solution of Two Lobe Bearings", Mechanism and Machine Theory, Vol. 12, No. 4, pp. 323-330, 1977.
2. Kumar, A., Sinhasan, R., and Singh, D.V. "Performance Characteristics of Two-lobe Hydrodynamic Journal Bearings", J. Lubrication Tech., Vol. 102, No. 4, pp. 425-429, 1980.
3. Nagaraju, Y., Joy, M.L., and Nair, P. "Thermohydrodynamic Analysis of a Two-lobe Journal Bearing", Int. J. Mech. Sci., Vol. 36, No. 3, pp. 209-217, 1994.
4. Eringen, A. "Theory of Micropolar Fluids", J. Mathematics and Mech., Vol. 16, No. 1, pp. 1-18, 1966.
5. Allen, S. and Kline, K. "Lubrication Theory for Micropolar Fluids", J. Applied Mech., Vol. 38, No. 3, pp. 646-650, 1971.
6. Zaheeruddin, Kh. and Isa, M. "Micropolar Fluid Lubrication of One-dimentional Journal Bearing", Wear J., Vol. 50, No. 2, pp. 211-220, 1978.
7. Prakash, J. and Sinha, P. "Lubrication Theory of Micropolar Fluids and Its Application to a Journal Bearing", Int. J. Eng. Sci., Vol. 13, No. 3, pp. 217-232, 1975.
8. Needs, S. "Boundary Film Investigations", Trans. ASME, Vol. 62, No. 4, pp. 331-342, 1940.
9. Khonsari, M. and Brewe, D. "On the Performance of Finite Journal Bearing Lubricated with Micropolar Fluids", Tribology Transaction, Vol. 32, No. 2, pp. 155-160, 1989.
10. Das, S. and Guha, S.K. "Linear Stability Analysis of Hydrodynamic Journal Bearing under Micropolar Lubrication", Tribology Int., Vol. 38, No. 5, pp. 500-507, 2005.
11. Wang, X. and Zhu, K.Q. "A Study of the Lubricating Effectiveness of Micropolar Fluid in a Dynamically Loaded Journal Bearing", Tribology Int., Vol. 37, No. 6, pp. 481-490, 2004.
12. Sukumaran Nair, V.P. and Prabhakaran Nair, K. "Finite Element Analysis of Elastohydrodynamic Circular Journal Bearing with Micropolar Lubricant", J. Finite Element Analysis and Design, Vol. 41, No. 1, pp. 75-89, 2004.
13. Prabhakaran Nair, K., Sukumaran Nair, V.P., and

(a).  $\bar{l}_m = 9$ (b).  $N^2 = 0.5$ 

شکل (۷): تغییرات جریان نشتی بر حسب بار برای یاتاقان دو لب، (a) برای مقادیر مختلف  $N^2$  ، (b) برای مقادیر مختلف  $\bar{l}_m$

### ۵- نتیجه گیری

در مقاله حاضر، مشخصه‌های عملکرد استاتیکی سیستم یاتاقان‌های دو لب (بیضوی) که با سیالاتی با خواص میکروپلار روان کاری شده باشد، به کمک روش عددی اجزاء محدود مورد مطالعه قرار گرفته و تأثیر پارامترهای میکروپلار سیال بر روی این مشخصه‌های عملکرد ارائه شده است. نتایج به دست آمده نشان‌دهنده آن می‌باشد که افزایش پارامتر عدد کوپلینگ ( $N^2$ ) و یا کاهش پارامتر بی بعد طول مشخصه ( $\bar{l}_m$ )، که به معنای افزایش خواص میکروپلار سیال و دور

15. Wang, X. and Zhu, K.Q. "Numerical Analysis of Journal Bearings Lubricated with Micropolar Fluids Including Thermal and Cavitation Effects", *Tribology Int.*, Vol. 39, No. 3, pp. 227-237, 2006.
16. Cameron, A. "The Principles of Lubrication", Wiley, New York, 1966.
17. Reddy, J. "An Introduction to Finite Element Method", McGraw-Hill, New York, 1984.
14. Singh, C. and Sinha, P. "The Three-dimensional Reynolds Equation for Micropolar Fluid Lubricated Bearings", *J. Wear*, Vol. 76, No. 2, pp. 199-209, 1982.
- Jayadas, N.H. "Static and Dynamic Analysis of Elastohydrodynamic Elliptical Journal Bearing with Micropolar Lubricant", *Tribology Int.*, Vol. 40, No. 2, pp. 297-305, 2007.